

ترکیب شیمیایی و ویژگی‌های نوری آمفیبول‌های سدیمی- کلسیمی و کلسیمی شیست‌های بازیک منطقه شاهنشین، جنوب غرب زنجان

صادق درخش^۱، جواد ایزدیار^{۱*}، ابوالفضل پورامیدی^۲، علی حاج ابوالفتح^۱، مهسا طهماسبی^۱

۱- گروه زمین‌شناسی، دانشکده علوم، دانشگاه زنجان، زنجان، ایران

۲- گروه معدن، دانشکده فنی، دانشگاه زنجان، زنجان، ایران

(دریافت مقاله: ۹۸/۱۰/۱۰، نسخه نهایی: ۹۸/۱۲/۱۴)

چکیده: منطقه شاهنشین در جنوب غرب زنجان و در مرز استان‌های زنجان و کردستان قرار دارد. بر اساس بررسی‌های سنگنگاری، شیست‌های بازی این منطقه شامل اکتینولیت شیست، اکتینولیت پیروکسن شیست، اکتینولیت پیروکسن گارتنت شیست و اکتینولیت اپیدوت شیست هستند. اکتینولیت شیست‌ها فراوان ترین نوع شیست‌های بازی هستند و از آمفیبول، موسکوویت، کلریت و آلبیت به عنوان کانی‌های اصلی تشکیل شده‌اند. در این شیست‌ها، آمفیبول‌ها در دو جایگاه بافتی مایل به شیستوارگی اصلی و هم راستا با شیستوارگی اصلی دیده می‌شوند. بررسی ویژگی‌های نوری آمفیبول‌ها نشان می‌دهد که از مرکز به سمت لبه بلور، مقادیر شکست مضاعف و زاویه خاموشی (nγL) کاهش یافته و رنگ غیر تداخلی از سیز مایل به آبی در راستا nγ در مرکز به سیز کمرنگ در لبه تغییر می‌کند. از سوی دیگر، بررسی ویژگی‌های شیمیایی آمفیبول‌ها نشان می‌دهد که مرکز آن دارای ترکیب وینچیت - ریشتريت است، در حالی که لبه‌ها دارای ترکیب اکتینولیت هستند. بنابراین، تغییر ویژگی‌های نوری ارتباط مستقیمی با تغییر ترکیب شیمیایی آمفیبول‌ها دارد که بیشتر بر اثر عکس جانشینی گلوکوفانی $\text{Ca}^{\text{M}4} \text{Mg}^{\text{Oct}} \text{Na}_1^{\text{M}4} \text{Al}^{\text{Oct}}$ و جانشینی پلازیوکلازی $\text{Ca}^{\text{M}4} \text{Al}^{\text{T}} \text{Na}_1^{\text{M}4} \text{Si}_1^{\text{T}}$ (Ca^{M4} Al^T Na^{M4} Si^T) رخ می‌دهد. محاسبات فشار - دما برای ترکیب شیمیایی مرکز آمفیبول‌ها نشان دهنده شرایط میانگین فشار ۱۴ و دمای ۴۰°C است در حالی که لبه آن‌ها در شرایط میانگین ۵۲۰ kbar و ۴۰°C تشکیل شده‌اند. از این رو، ساختار منطقه‌بندی نوری و شیمیایی در آمفیبول‌های شیست‌های بازی منطقه شاهنشین برآمده از تغییر شرایط فشار - دمای دگرگونی است.

واژه‌های کلیدی: آمفیبول‌های سدیمی- کلسیمی و کلسیمی؛ شیست‌های نوری؛ شاهنشین؛ زنجان.

ظرفیت ۲ برای M1 و ۱ برای M3 کاتیون‌های Mn²⁺ و Fe²⁺ و Mg²⁺ و Fe³⁺ و Ti⁴⁺ و Al³⁺ و Si⁴⁺ و O²⁻ و H⁺ و H₂O⁰ و C⁰ و C⁻² و C⁻⁴ و C⁻⁶ و C⁻⁸ و C⁻¹⁰ و C⁻¹² و C⁻¹⁴ و C⁻¹⁶ و C⁻¹⁸ و C⁻²⁰ و C⁻²² و C⁻²⁴ و C⁻²⁶ و C⁻²⁸ و C⁻³⁰ و C⁻³² و C⁻³⁴ و C⁻³⁶ و C⁻³⁸ و C⁻⁴⁰ و C⁻⁴² و C⁻⁴⁴ و C⁻⁴⁶ و C⁻⁴⁸ و C⁻⁵⁰ و C⁻⁵² و C⁻⁵⁴ و C⁻⁵⁶ و C⁻⁵⁸ و C⁻⁶⁰ و C⁻⁶² و C⁻⁶⁴ و C⁻⁶⁶ و C⁻⁶⁸ و C⁻⁷⁰ و C⁻⁷² و C⁻⁷⁴ و C⁻⁷⁶ و C⁻⁷⁸ و C⁻⁸⁰ و C⁻⁸² و C⁻⁸⁴ و C⁻⁸⁶ و C⁻⁸⁸ و C⁻⁹⁰ و C⁻⁹² و C⁻⁹⁴ و C⁻⁹⁶ و C⁻⁹⁸ و C⁻¹⁰⁰ و C⁻¹⁰² و C⁻¹⁰⁴ و C⁻¹⁰⁶ و C⁻¹⁰⁸ و C⁻¹¹⁰ و C⁻¹¹² و C⁻¹¹⁴ و C⁻¹¹⁶ و C⁻¹¹⁸ و C⁻¹²⁰ و C⁻¹²² و C⁻¹²⁴ و C⁻¹²⁶ و C⁻¹²⁸ و C⁻¹³⁰ و C⁻¹³² و C⁻¹³⁴ و C⁻¹³⁶ و C⁻¹³⁸ و C⁻¹⁴⁰ و C⁻¹⁴² و C⁻¹⁴⁴ و C⁻¹⁴⁶ و C⁻¹⁴⁸ و C⁻¹⁵⁰ و C⁻¹⁵² و C⁻¹⁵⁴ و C⁻¹⁵⁶ و C⁻¹⁵⁸ و C⁻¹⁶⁰ و C⁻¹⁶² و C⁻¹⁶⁴ و C⁻¹⁶⁶ و C⁻¹⁶⁸ و C⁻¹⁷⁰ و C⁻¹⁷² و C⁻¹⁷⁴ و C⁻¹⁷⁶ و C⁻¹⁷⁸ و C⁻¹⁸⁰ و C⁻¹⁸² و C⁻¹⁸⁴ و C⁻¹⁸⁶ و C⁻¹⁸⁸ و C⁻¹⁹⁰ و C⁻¹⁹² و C⁻¹⁹⁴ و C⁻¹⁹⁶ و C⁻¹⁹⁸ و C⁻²⁰⁰ و C⁻²⁰² و C⁻²⁰⁴ و C⁻²⁰⁶ و C⁻²⁰⁸ و C⁻²¹⁰ و C⁻²¹² و C⁻²¹⁴ و C⁻²¹⁶ و C⁻²¹⁸ و C⁻²²⁰ و C⁻²²² و C⁻²²⁴ و C⁻²²⁶ و C⁻²²⁸ و C⁻²³⁰ و C⁻²³² و C⁻²³⁴ و C⁻²³⁶ و C⁻²³⁸ و C⁻²⁴⁰ و C⁻²⁴² و C⁻²⁴⁴ و C⁻²⁴⁶ و C⁻²⁴⁸ و C⁻²⁵⁰ و C⁻²⁵² و C⁻²⁵⁴ و C⁻²⁵⁶ و C⁻²⁵⁸ و C⁻²⁶⁰ و C⁻²⁶² و C⁻²⁶⁴ و C⁻²⁶⁶ و C⁻²⁶⁸ و C⁻²⁷⁰ و C⁻²⁷² و C⁻²⁷⁴ و C⁻²⁷⁶ و C⁻²⁷⁸ و C⁻²⁸⁰ و C⁻²⁸² و C⁻²⁸⁴ و C⁻²⁸⁶ و C⁻²⁸⁸ و C⁻²⁹⁰ و C⁻²⁹² و C⁻²⁹⁴ و C⁻²⁹⁶ و C⁻²⁹⁸ و C⁻³⁰⁰ و C⁻³⁰² و C⁻³⁰⁴ و C⁻³⁰⁶ و C⁻³⁰⁸ و C⁻³¹⁰ و C⁻³¹² و C⁻³¹⁴ و C⁻³¹⁶ و C⁻³¹⁸ و C⁻³²⁰ و C⁻³²² و C⁻³²⁴ و C⁻³²⁶ و C⁻³²⁸ و C⁻³³⁰ و C⁻³³² و C⁻³³⁴ و C⁻³³⁶ و C⁻³³⁸ و C⁻³⁴⁰ و C⁻³⁴² و C⁻³⁴⁴ و C⁻³⁴⁶ و C⁻³⁴⁸ و C⁻³⁵⁰ و C⁻³⁵² و C⁻³⁵⁴ و C⁻³⁵⁶ و C⁻³⁵⁸ و C⁻³⁶⁰ و C⁻³⁶² و C⁻³⁶⁴ و C⁻³⁶⁶ و C⁻³⁶⁸ و C⁻³⁷⁰ و C⁻³⁷² و C⁻³⁷⁴ و C⁻³⁷⁶ و C⁻³⁷⁸ و C⁻³⁸⁰ و C⁻³⁸² و C⁻³⁸⁴ و C⁻³⁸⁶ و C⁻³⁸⁸ و C⁻³⁹⁰ و C⁻³⁹² و C⁻³⁹⁴ و C⁻³⁹⁶ و C⁻³⁹⁸ و C⁻⁴⁰⁰ و C⁻⁴⁰² و C⁻⁴⁰⁴ و C⁻⁴⁰⁶ و C⁻⁴⁰⁸ و C⁻⁴¹⁰ و C⁻⁴¹² و C⁻⁴¹⁴ و C⁻⁴¹⁶ و C⁻⁴¹⁸ و C⁻⁴²⁰ و C⁻⁴²² و C⁻⁴²⁴ و C⁻⁴²⁶ و C⁻⁴²⁸ و C⁻⁴³⁰ و C⁻⁴³² و C⁻⁴³⁴ و C⁻⁴³⁶ و C⁻⁴³⁸ و C⁻⁴⁴⁰ و C⁻⁴⁴² و C⁻⁴⁴⁴ و C⁻⁴⁴⁶ و C⁻⁴⁴⁸ و C⁻⁴⁵⁰ و C⁻⁴⁵² و C⁻⁴⁵⁴ و C⁻⁴⁵⁶ و C⁻⁴⁵⁸ و C⁻⁴⁶⁰ و C⁻⁴⁶² و C⁻⁴⁶⁴ و C⁻⁴⁶⁶ و C⁻⁴⁶⁸ و C⁻⁴⁷⁰ و C⁻⁴⁷² و C⁻⁴⁷⁴ و C⁻⁴⁷⁶ و C⁻⁴⁷⁸ و C⁻⁴⁸⁰ و C⁻⁴⁸² و C⁻⁴⁸⁴ و C⁻⁴⁸⁶ و C⁻⁴⁸⁸ و C⁻⁴⁹⁰ و C⁻⁴⁹² و C⁻⁴⁹⁴ و C⁻⁴⁹⁶ و C⁻⁴⁹⁸ و C⁻⁵⁰⁰ و C⁻⁵⁰² و C⁻⁵⁰⁴ و C⁻⁵⁰⁶ و C⁻⁵⁰⁸ و C⁻⁵¹⁰ و C⁻⁵¹² و C⁻⁵¹⁴ و C⁻⁵¹⁶ و C⁻⁵¹⁸ و C⁻⁵²⁰ و C⁻⁵²² و C⁻⁵²⁴ و C⁻⁵²⁶ و C⁻⁵²⁸ و C⁻⁵³⁰ و C⁻⁵³² و C⁻⁵³⁴ و C⁻⁵³⁶ و C⁻⁵³⁸ و C⁻⁵⁴⁰ و C⁻⁵⁴² و C⁻⁵⁴⁴ و C⁻⁵⁴⁶ و C⁻⁵⁴⁸ و C⁻⁵⁵⁰ و C⁻⁵⁵² و C⁻⁵⁵⁴ و C⁻⁵⁵⁶ و C⁻⁵⁵⁸ و C⁻⁵⁶⁰ و C⁻⁵⁶² و C⁻⁵⁶⁴ و C⁻⁵⁶⁶ و C⁻⁵⁶⁸ و C⁻⁵⁷⁰ و C⁻⁵⁷² و C⁻⁵⁷⁴ و C⁻⁵⁷⁶ و C⁻⁵⁷⁸ و C⁻⁵⁸⁰ و C⁻⁵⁸² و C⁻⁵⁸⁴ و C⁻⁵⁸⁶ و C⁻⁵⁸⁸ و C⁻⁵⁹⁰ و C⁻⁵⁹² و C⁻⁵⁹⁴ و C⁻⁵⁹⁶ و C⁻⁵⁹⁸ و C⁻⁶⁰⁰ و C⁻⁶⁰² و C⁻⁶⁰⁴ و C⁻⁶⁰⁶ و C⁻⁶⁰⁸ و C⁻⁶¹⁰ و C⁻⁶¹² و C⁻⁶¹⁴ و C⁻⁶¹⁶ و C⁻⁶¹⁸ و C⁻⁶²⁰ و C⁻⁶²² و C⁻⁶²⁴ و C⁻⁶²⁶ و C⁻⁶²⁸ و C⁻⁶³⁰ و C⁻⁶³² و C⁻⁶³⁴ و C⁻⁶³⁶ و C⁻⁶³⁸ و C⁻⁶⁴⁰ و C⁻⁶⁴² و C⁻⁶⁴⁴ و C⁻⁶⁴⁶ و C⁻⁶⁴⁸ و C⁻⁶⁵⁰ و C⁻⁶⁵² و C⁻⁶⁵⁴ و C⁻⁶⁵⁶ و C⁻⁶⁵⁸ و C⁻⁶⁶⁰ و C⁻⁶⁶² و C⁻⁶⁶⁴ و C⁻⁶⁶⁶ و C⁻⁶⁶⁸ و C⁻⁶⁷⁰ و C⁻⁶⁷² و C⁻⁶⁷⁴ و C⁻⁶⁷⁶ و C⁻⁶⁷⁸ و C⁻⁶⁸⁰ و C⁻⁶⁸² و C⁻⁶⁸⁴ و C⁻⁶⁸⁶ و C⁻⁶⁸⁸ و C⁻⁶⁹⁰ و C⁻⁶⁹² و C⁻⁶⁹⁴ و C⁻⁶⁹⁶ و C⁻⁶⁹⁸ و C⁻⁷⁰⁰ و C⁻⁷⁰² و C⁻⁷⁰⁴ و C⁻⁷⁰⁶ و C⁻⁷⁰⁸ و C⁻⁷¹⁰ و C⁻⁷¹² و C⁻⁷¹⁴ و C⁻⁷¹⁶ و C⁻⁷¹⁸ و C⁻⁷²⁰ و C⁻⁷²² و C⁻⁷²⁴ و C⁻⁷²⁶ و C⁻⁷²⁸ و C⁻⁷³⁰ و C⁻⁷³² و C⁻⁷³⁴ و C⁻⁷³⁶ و C⁻⁷³⁸ و C⁻⁷⁴⁰ و C⁻⁷⁴² و C⁻⁷⁴⁴ و C⁻⁷⁴⁶ و C⁻⁷⁴⁸ و C⁻⁷⁵⁰ و C⁻⁷⁵² و C⁻⁷⁵⁴ و C⁻⁷⁵⁶ و C⁻⁷⁵⁸ و C⁻⁷⁶⁰ و C⁻⁷⁶² و C⁻⁷⁶⁴ و C⁻⁷⁶⁶ و C⁻⁷⁶⁸ و C⁻⁷⁷⁰ و C⁻⁷⁷² و C⁻⁷⁷⁴ و C⁻⁷⁷⁶ و C⁻⁷⁷⁸ و C⁻⁷⁸⁰ و C⁻⁷⁸² و C⁻⁷⁸⁴ و C⁻⁷⁸⁶ و C⁻⁷⁸⁸ و C⁻⁷⁹⁰ و C⁻⁷⁹² و C⁻⁷⁹⁴ و C⁻⁷⁹⁶ و C⁻⁷⁹⁸ و C⁻⁸⁰⁰ و C⁻⁸⁰² و C⁻⁸⁰⁴ و C⁻⁸⁰⁶ و C⁻⁸⁰⁸ و C⁻⁸¹⁰ و C⁻⁸¹² و C⁻⁸¹⁴ و C⁻⁸¹⁶ و C⁻⁸¹⁸ و C⁻⁸²⁰ و C⁻⁸²² و C⁻⁸²⁴ و C⁻⁸²⁶ و C⁻⁸²⁸ و C⁻⁸³⁰ و C⁻⁸³² و C⁻⁸³⁴ و C⁻⁸³⁶ و C⁻⁸³⁸ و C⁻⁸⁴⁰ و C⁻⁸⁴² و C⁻⁸⁴⁴ و C⁻⁸⁴⁶ و C⁻⁸⁴⁸ و C⁻⁸⁵⁰ و C⁻⁸⁵² و C⁻⁸⁵⁴ و C⁻⁸⁵⁶ و C⁻⁸⁵⁸ و C⁻⁸⁶⁰ و C⁻⁸⁶² و C⁻⁸⁶⁴ و C⁻⁸⁶⁶ و C⁻⁸⁶⁸ و C⁻⁸⁷⁰ و C⁻⁸⁷² و C⁻⁸⁷⁴ و C⁻⁸⁷⁶ و C⁻⁸⁷⁸ و C⁻⁸⁸⁰ و C⁻⁸⁸² و C⁻⁸⁸⁴ و C⁻⁸⁸⁶ و C⁻⁸⁸⁸ و C⁻⁸⁹⁰ و C⁻⁸⁹² و C⁻⁸⁹⁴ و C⁻⁸⁹⁶ و C⁻⁸⁹⁸ و C⁻⁹⁰⁰ و C⁻⁹⁰² و C⁻⁹⁰⁴ و C⁻⁹⁰⁶ و C⁻⁹⁰⁸ و C⁻⁹¹⁰ و C⁻⁹¹² و C⁻⁹¹⁴ و C⁻⁹¹⁶ و C⁻⁹¹⁸ و C⁻⁹²⁰ و C⁻⁹²² و C⁻⁹²⁴ و C⁻⁹²⁶ و C⁻⁹²⁸ و C⁻⁹³⁰ و C⁻⁹³² و C⁻⁹³⁴ و C⁻⁹³⁶ و C⁻⁹³⁸ و C⁻⁹⁴⁰ و C⁻⁹⁴² و C⁻⁹⁴⁴ و C⁻⁹⁴⁶ و C⁻⁹⁴⁸ و C⁻⁹⁵⁰ و C⁻⁹⁵² و C⁻⁹⁵⁴ و C⁻⁹⁵⁶ و C⁻⁹⁵⁸ و C⁻⁹⁶⁰ و C⁻⁹⁶² و C⁻⁹⁶⁴ و C⁻⁹⁶⁶ و C⁻⁹⁶⁸ و C⁻⁹⁷⁰ و C⁻⁹⁷² و C⁻⁹⁷⁴ و C⁻⁹⁷⁶ و C⁻⁹⁷⁸ و C⁻⁹⁸⁰ و C⁻⁹⁸² و C⁻⁹⁸⁴ و C⁻⁹⁸⁶ و C⁻⁹⁸⁸ و C⁻⁹⁹⁰ و C⁻⁹⁹² و C⁻⁹⁹⁴ و C⁻⁹⁹⁶ و C⁻⁹⁹⁸ و C⁻¹⁰⁰⁰ و C⁻¹⁰⁰² و C⁻¹⁰⁰⁴ و C⁻¹⁰⁰⁶ و C⁻¹⁰⁰⁸ و C⁻¹⁰¹⁰ و C⁻¹⁰¹² و C⁻¹⁰¹⁴ و C⁻¹⁰¹⁶ و C⁻¹⁰¹⁸ و C⁻¹⁰²⁰ و C⁻¹⁰²² و C⁻¹⁰²⁴ و C⁻¹⁰²⁶ و C⁻¹⁰²⁸ و C⁻¹⁰³⁰ و C⁻¹⁰³² و C⁻¹⁰³⁴ و C⁻¹⁰³⁶ و C⁻¹⁰³⁸ و C⁻¹⁰⁴⁰ و C⁻¹⁰⁴² و C⁻¹⁰⁴⁴ و C⁻¹⁰⁴⁶ و C⁻¹⁰⁴⁸ و C⁻¹⁰⁵⁰ و C⁻¹⁰⁵² و C⁻¹⁰⁵⁴ و C⁻¹⁰⁵⁶ و C⁻¹⁰⁵⁸ و C⁻¹⁰⁶⁰ و C⁻¹⁰⁶² و C⁻¹⁰⁶⁴ و C⁻¹⁰⁶⁶ و C⁻¹⁰⁶⁸ و C⁻¹⁰⁷⁰ و C⁻¹⁰⁷² و C⁻¹⁰⁷⁴ و C⁻¹⁰⁷⁶ و C⁻¹⁰⁷⁸ و C⁻¹⁰⁸⁰ و C⁻¹⁰⁸² و C⁻¹⁰⁸⁴ و C⁻¹⁰⁸⁶ و C⁻¹⁰⁸⁸ و C⁻¹⁰⁹⁰ و C⁻¹⁰⁹² و C⁻¹⁰⁹⁴ و C⁻¹⁰⁹⁶ و C⁻¹⁰⁹⁸ و C⁻¹¹⁰⁰ و C⁻¹¹⁰² و C⁻¹¹⁰⁴ و C⁻¹¹⁰⁶ و C⁻¹¹⁰⁸ و C⁻¹¹¹⁰ و C⁻¹¹¹² و C⁻¹¹¹⁴ و C⁻¹¹¹⁶ و C⁻¹¹¹⁸ و C⁻¹¹²⁰ و C⁻¹¹²² و C⁻¹¹²⁴ و C⁻¹¹²⁶ و C⁻¹¹²⁸ و C⁻¹¹³⁰ و C⁻¹¹³² و C⁻¹¹³⁴ و C⁻¹¹³⁶ و C⁻¹¹³⁸ و C⁻¹¹⁴⁰ و C⁻¹¹⁴² و C⁻¹¹⁴⁴ و C⁻¹¹⁴⁶ و C⁻¹¹⁴⁸ و C⁻¹¹⁵⁰ و C⁻¹¹⁵² و C⁻¹¹⁵⁴ و C⁻¹¹⁵⁶ و C⁻¹¹⁵⁸ و C⁻¹¹⁶⁰ و C⁻¹¹⁶² و C⁻¹¹⁶⁴ و C⁻¹¹⁶⁶ و C⁻¹¹⁶⁸ و C⁻¹¹⁷⁰ و C⁻¹¹⁷² و C⁻¹¹⁷⁴ و C⁻¹¹⁷⁶ و C⁻¹¹⁷⁸ و C⁻¹¹⁸⁰ و C⁻¹¹⁸² و C⁻¹¹⁸⁴ و C⁻¹¹⁸⁶ و C⁻¹¹⁸⁸ و C⁻¹¹⁹⁰ و C⁻¹¹⁹² و C⁻¹¹⁹⁴ و C⁻¹¹⁹⁶ و C⁻¹¹⁹⁸ و C⁻¹²⁰⁰ و C⁻¹²⁰² و C⁻¹²⁰⁴ و C⁻¹²⁰⁶ و C⁻¹²⁰⁸ و C⁻¹²¹⁰ و C⁻¹²¹² و C⁻¹²¹⁴ و C⁻¹²¹⁶ و C⁻¹²¹⁸ و C⁻¹²²⁰ و C⁻¹²²² و C⁻¹²²⁴ و C⁻¹²²⁶ و C⁻¹²²⁸ و C⁻¹²³⁰ و C⁻¹²³² و C⁻¹²³⁴ و C⁻¹²³⁶ و C⁻¹²³⁸ و C⁻¹²⁴⁰ و C⁻¹²⁴² و C⁻¹²⁴⁴ و C⁻¹²⁴⁶ و C⁻¹²⁴⁸ و C⁻¹²⁵⁰ و C⁻¹²⁵² و C⁻¹²⁵⁴ و C⁻¹²⁵⁶ و C⁻¹²⁵⁸ و C⁻¹²⁶⁰ و C⁻¹²⁶² و C⁻¹²⁶⁴ و C⁻¹²⁶⁶ و C⁻¹²⁶⁸ و C⁻¹²⁷⁰ و C⁻¹²⁷² و C⁻¹²⁷⁴ و C⁻¹²⁷⁶ و C⁻¹²⁷⁸ و C⁻¹²⁸⁰ و C⁻¹²⁸² و C⁻¹²⁸⁴ و C⁻¹²⁸⁶ و C⁻¹²⁸⁸ و C⁻¹²⁹⁰ و C⁻¹²⁹² و C⁻¹²⁹⁴ و C⁻¹²⁹⁶ و C⁻¹²⁹⁸ و C⁻¹³⁰⁰ و C⁻¹³⁰² و C⁻¹³⁰⁴ و C⁻¹³⁰⁶ و C⁻¹³⁰⁸ و C⁻¹³¹⁰ و C⁻¹³¹² و C⁻¹³¹⁴ و C⁻¹³¹⁶ و C⁻¹³¹⁸ و C⁻¹³²⁰ و C⁻¹³²² و C⁻¹³²⁴ و C⁻¹³²⁶ و C⁻¹³²⁸ و C⁻¹³³⁰ و C⁻¹³³² و C⁻¹³³⁴ و C⁻¹³³⁶ و C⁻¹³³⁸ و C⁻¹³⁴⁰ و C⁻¹³⁴² و C⁻¹³⁴⁴ و C⁻¹³⁴⁶ و C⁻¹³⁴⁸ و C⁻¹³⁵⁰ و C⁻¹³⁵² و C⁻¹³⁵⁴ و C⁻¹³⁵⁶ و C⁻¹³⁵⁸ و C⁻¹³⁶⁰ و C⁻¹³⁶² و C⁻¹³⁶⁴ و C⁻¹³⁶⁶ و C⁻¹³⁶⁸ و C⁻¹³⁷⁰ و C⁻¹³⁷² و C⁻¹³⁷⁴ و C⁻¹³⁷⁶ و C⁻¹³⁷⁸ و C⁻¹³⁸⁰ و C⁻¹³⁸² و C⁻¹³⁸⁴ و C⁻¹³⁸⁶ و C⁻¹³⁸⁸ و C⁻¹³⁹⁰ و C⁻¹³⁹² و C⁻¹³⁹⁴ و C⁻¹³⁹⁶ و C⁻¹³⁹⁸ و C⁻¹⁴⁰⁰ و C⁻¹⁴⁰² و C⁻¹⁴⁰⁴ و C⁻¹⁴⁰⁶ و C⁻¹⁴⁰⁸ و C⁻¹⁴¹⁰ و C⁻¹⁴¹² و C⁻¹⁴¹⁴ و C⁻¹⁴¹⁶ و C⁻¹⁴¹⁸ و C⁻¹⁴²⁰ و C⁻¹⁴²² و C⁻¹⁴²⁴ و C⁻¹⁴²⁶ و C⁻¹⁴²⁸ و C⁻¹⁴³⁰ و C⁻¹⁴³² و C⁻¹⁴³⁴ و C⁻¹⁴³⁶ و C⁻¹⁴³⁸ و C⁻¹⁴⁴⁰ و C⁻¹⁴⁴² و C⁻¹⁴⁴⁴ و C⁻¹⁴⁴⁶ و C⁻¹⁴⁴⁸ و C⁻¹⁴⁵⁰ و C⁻¹⁴⁵² و C⁻¹⁴⁵⁴ و C⁻¹⁴⁵⁶ و C⁻¹⁴⁵⁸ و C⁻¹⁴⁶⁰ و C⁻¹⁴⁶² و C⁻¹⁴⁶⁴ و C⁻¹⁴⁶⁶ و C⁻¹⁴⁶⁸ و C⁻¹⁴⁷⁰ و C⁻¹⁴⁷² و C⁻¹⁴⁷⁴ و C⁻¹⁴⁷⁶ و C⁻¹⁴⁷⁸ و C⁻¹⁴⁸⁰ و C⁻¹⁴⁸² و C⁻¹⁴⁸⁴ و C⁻¹⁴⁸⁶ و C⁻¹⁴⁸⁸ و C⁻¹⁴⁹⁰ و C⁻¹⁴⁹² و C⁻¹⁴⁹⁴ و C⁻¹⁴⁹⁶ و C⁻¹⁴⁹⁸ و C⁻¹⁵⁰⁰ و C⁻¹⁵⁰² و C⁻¹⁵⁰⁴ و C⁻¹⁵⁰⁶ و C⁻¹⁵⁰⁸ و C⁻¹⁵¹⁰ و C⁻¹⁵¹² و C⁻¹⁵¹⁴ و C⁻¹⁵¹⁶ و C⁻¹⁵¹⁸ و C⁻¹⁵²⁰ و C⁻¹⁵²² و C⁻¹⁵²⁴ و C⁻¹⁵²⁶ و C⁻¹⁵²⁸ و C⁻¹⁵³⁰ و C⁻¹⁵³² و C⁻¹⁵³⁴ و C⁻¹⁵³⁶ و C⁻¹⁵³⁸ و C⁻¹⁵⁴⁰ و C⁻¹⁵⁴² و C⁻¹⁵⁴⁴ و C⁻¹⁵⁴⁶ و C⁻¹⁵⁴⁸ و C⁻¹⁵⁵⁰ و C⁻¹⁵⁵² و C⁻¹⁵⁵⁴ و C⁻¹⁵⁵⁶ و C⁻¹⁵⁵⁸ و C⁻¹⁵⁶⁰ و C⁻¹⁵⁶² و C⁻¹⁵⁶⁴ و C⁻¹⁵⁶⁶ و C⁻¹⁵⁶⁸ و C⁻¹⁵⁷⁰ و C⁻¹⁵⁷² و C⁻¹⁵⁷⁴ و C⁻¹⁵⁷⁶ و C⁻¹⁵⁷⁸ و C⁻¹⁵⁸⁰ و C⁻¹⁵⁸² و C⁻¹⁵⁸⁴ و C⁻¹⁵⁸⁶ و C⁻¹⁵⁸⁸ و C⁻¹⁵⁹⁰ و C⁻¹⁵⁹² و C⁻¹⁵⁹⁴ و C⁻¹⁵⁹⁶ و C⁻¹⁵⁹⁸ و C⁻¹⁶⁰⁰ و C⁻¹⁶⁰² و C⁻¹⁶⁰⁴ و C⁻¹⁶⁰⁶ و C⁻¹⁶⁰⁸ و C⁻¹⁶¹⁰ و C⁻¹⁶¹² و C⁻¹⁶¹⁴ و C⁻¹⁶¹⁶ و C⁻¹⁶¹⁸ و C⁻¹⁶²⁰ و C⁻¹⁶²² و C⁻¹⁶²⁴ و C⁻¹⁶²⁶ و C⁻¹⁶²⁸ و C⁻¹⁶³⁰ و C⁻¹⁶³² و C⁻¹⁶³⁴

روش بررسی

با انجام پیمایش‌های صحرایی، ۴۰ نمونه از شیسته‌های بازی منطقه شاهنشین برداشت و با تهیه مقطع نازک از نظر کانی-شناصی و بافتی بررسی شدند. به منظور تعیین ترکیب شیمیایی آمفیبول‌ها، یک نمونه از اکتینولیت شیست توسط دستگاه ریز پردازنده الکترونی (Cameca SX100) با سه کاتال WDS در مرکز پژوهشی KML مالزی تجزیه نقطه‌ای شدند. محاسبه دوباره تجزیه کانی‌ها، تعیین مقدار Fe^{3+} و محاسبه فعالیت اعضای نهایی کانی‌ها با استفاده از نرمافزار AX از هلند و پاول [۱۲] انجام شد.

زمین‌شناسی

منطقه شاهنشین در ۱۰۰ کیلومتری جنوب غرب شهر زنجان و در گستره طول‌های جغرافیایی "۰۰° ۲۷' ۳۶" تا "۰۰° ۱۸' ۵۸" و عرض‌های جغرافیایی "۰۰° ۴۷' ۵۸" تا "۰۰° ۴۰' ۴۷" در ناحیه مرزی استان‌های زنجان و کردستان قرار دارد (شکل ۱). مجموعه سنگ‌های منطقه شاهنشین را می‌توان به سه گروه سنگ‌های دگرگون‌شده، دگرگون‌نشده و توده‌های نفوذی تقسیم نمود. سنگ‌های دگرگون‌شده دارای سن کرتاسه بوده و شامل شیسته‌های کرتاسه (K_4)، اسلیت و فیلیت (K_2) با میان لایه‌های از مرمر هستند [۱۳] (شکل ۲). سنگ‌های دگرگون نشده از کرتاسه پسین تا پلیوسن گسترش دارند و شامل شیل، آهک، سنگ‌های آتش‌شانی کرتاسه پسین (K_1 ، ماسه‌سنگ و کنگلومرا ائوسن (E) و الیگوسن (OL)، کنگلومرا، مارن، آهک و ماسه سنگ الیگومیوسن (Om_1)، توف و گدازه‌های الیگومیوسن (Om_2) با ترکیب آندزیتی و ترکیب تراکی آندزیتی و بازالی، کنگلومرا، ماسه‌سنگ، آهک، مارن و توف میوسن (M) و سرانجام کنگلومرا، مارن و توف پلیوسن (PL) هستند. قطعه‌هایی از اسلیت و فیلیت درون کنگلومرا و ماسه‌سنگ‌های ائوسن و الیگومیوسن دیده می‌شوند [۱۳] (شکل ۲). مجموعه سنگ‌های دگرگونی در شمال چهارگوش یاسوکند رخنمون دارند و بیشترین گسترش آن‌ها مربوط به واحد اسلیتی و فیلیتی است. مجموعه سنگ‌های غیردگرگونی در بخش‌های میانی و جنوبی چهارگوش یاسوکند رخنمون دارند و بیشترین گسترش آن‌ها مربوط به واحدهای رسوبی پلیوسن (PL) و الیگومیوسن (Om_1) است. ارتباط بین مجموعه‌های سنگی

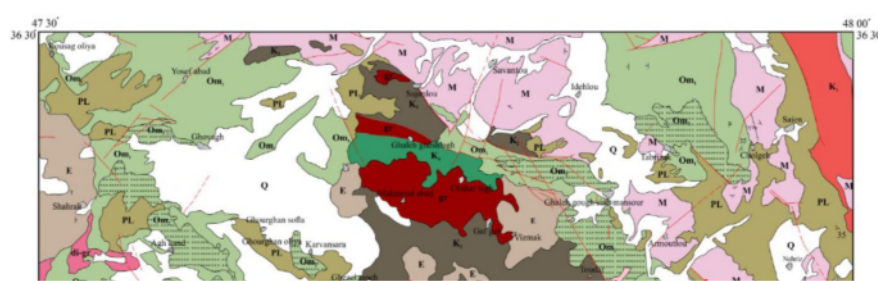
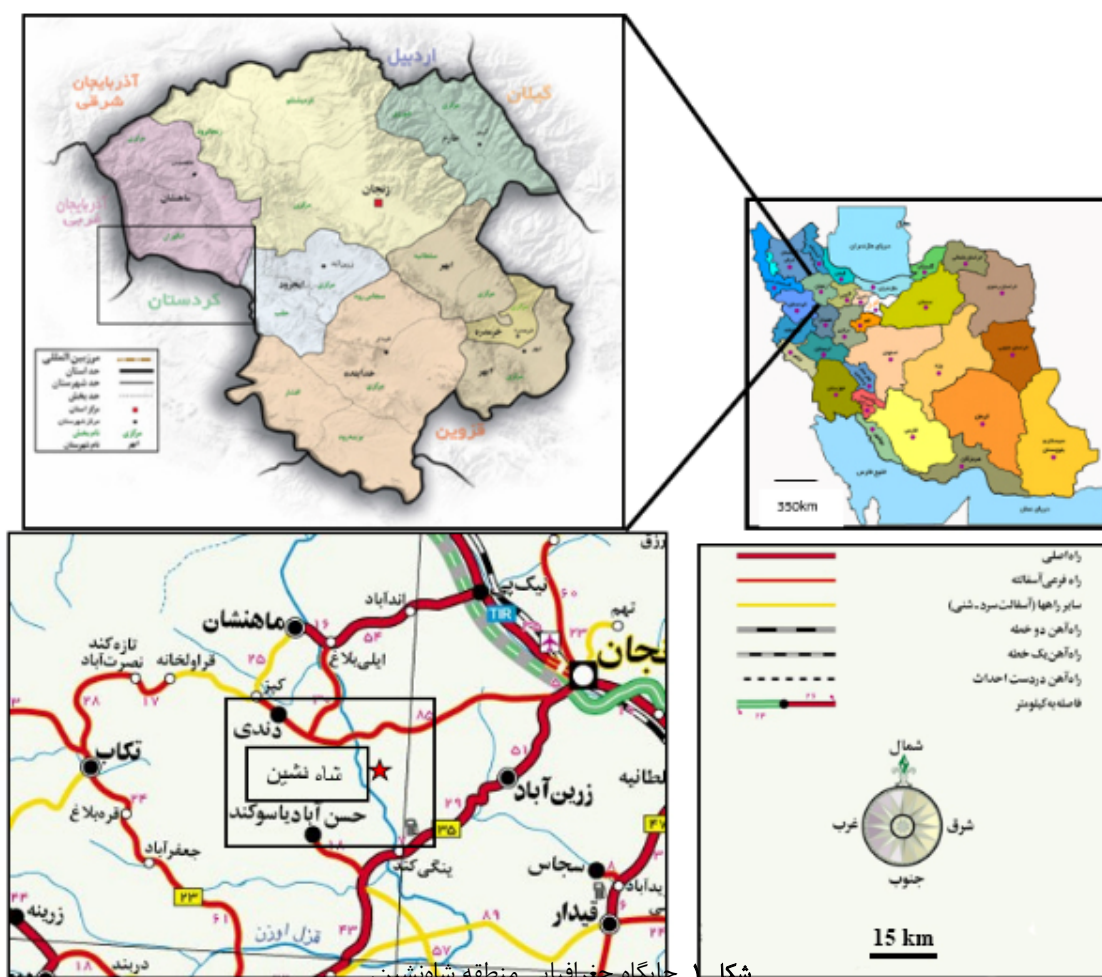
می‌گردد که آمفیبول‌ها نسبت به تغییر شرایط ترمودینامیکی بیوژه فشار- دما حساس باشند و هرگونه تغییری را در خود ثبت کنند. این تغییرات اغلب به صورت ساختارهای منطقه-بندی شیمیایی در نتیجه جانشینی کاتیون‌ها در جایگاه‌های با هم‌آرایی متفاوت آمفیبول‌ها دیده می‌شوند و این ویژگی باعث می‌شود که از آمفیبول‌ها به طور گسترده‌ای برای تعیین شرایط و الگوهای دگرگونی استفاده گردد [۱۰-۵]. شایع‌ترین جانشینی‌های کاتیونی آمفیبول‌ها در اثر تغییر شرایط ترمودینامیکی طی دگرگونی عبارتندار جانشینی گلوکوفانی ($\text{NaAl}^{\text{VI}} \text{Ca}_{-1} \text{Mg}_{-1}$) شامل جانشینی Na به جای Ca در جایگاه M4 همراه با جانشینی Al^{VI} به جای Mg در جایگاه M2، جانشینی چرماتیتی ($\text{Al}^{\text{VI}} \text{Al}^{\text{IV}} \text{Mg}_{-1} \text{Si}_{-1}$) شامل جانشینی Al^{VI} به جای Mg در جایگاه M2 به همراه جانشینی $\text{Na Al}^{\text{IV}} \text{Si}_{-1}$ به جای Si در جایگاه T2، جانشینی ادنیتی ($\text{Ca}_{-1} \text{Si}_{-1} \text{Al}^{\text{IV}}$) شامل جانشینی A در جایگاه خالی A و جانشینی Al^{IV} به جای Si در جایگاه T1 [۳-۱] و [۵]. از سوی دیگر، رابطه بین ترکیب شیمیایی آمفیبول‌ها و ویژگی‌های نوری آن‌ها مدت‌ها قبل مشخص شده است [۱۱]. با افزایش جانشینی Fe^{2+} به جای Mg در سری ترمولیت - فرواکتینولیت و همچنین در هورنبلند مقادیر زاویه بین دو محور نوری ($2V$ ، زاویه خاموشی ($n\gamma$ ۸C) و اختلاف راه نوری (Δ) کاهش یافته، در حالی که ضرایب شکست افزایش می‌یابند. در آمفیبول‌های سدیمی در سری میان اعضای نهایی گلوکوفان - ریبکت، با جانشینی Fe^{2+} و $\text{Mg} = \text{Fe}^{2+}$ $\text{Al} = \text{Fe}^{3+}$ $\text{Mg} = \text{Fe}^{2+}$ $\text{Fe}^{3+} \text{Mg}_{-1} \text{Al}_{-1}$ تغییر می‌کنند، برای مثال، جانشینی (Fe^{2+} $\text{Fe}^{3+} \text{Mg}_{-1} \text{Al}_{-1}$) باعث افزایش ضرایب شکست و کاهش زاویه بین دو محور نوری می‌شود [۴]. این بررسی‌ها اغلب بر بلورهای مجزا با ترکیب همگن انجام شده و بیشتر پیرامون اثر رابطه جانشینی Fe^{2+} به جای Mg بر روی ویژگی‌های نوری آمفیبول بوده‌اند. وجود ساختارهای منطقه‌بندی شیمیایی‌های پیچیده‌تر و تغییر پیگیری دقیق تر رابطه بین جانشینی‌های ویژگی‌های نوری را فراهم آورد. طی بررسی‌های سنگ‌شناسی در شیسته‌های بازی منطقه شاهنشین، آمفیبول‌های با ساختار منطقه‌بندی شیمیایی دیده شدند که در این پژوهش ترکیب شیمیایی، ویژگی‌های نوری، رابطه بین ترکیب شیمیایی و ویژگی‌های نوری و چگونگی تشکیل آن‌ها بررسی می‌شود.

پیروکسن شیست، اکتینولیت پیروکسن گارنت شیست و اکتینولیت اپیدوت شیست تقسیم می‌شوند [۱۴]. فراوان ترین نوع شیست‌های بازی منطقه اکتینولیت شیست‌ها هستند که در این پژوهش، آمفیبول‌های موجود در آن‌ها بررسی شده‌اند. بافت غالب اکتینولیت شیست‌ها پورفیری غربالی ورقه نخ شکفتی است و از آمفیبول، آلبیت، موسکوویت و کلریت تشکیل شده‌اند (شکل ۳ الف). فلدسپارهای آلبیتی به صورت پورفیری غربالی دیده می‌شوند که گاهی میانبارهایی از آمفیبول در آن‌ها وجود دارند. پیرامون شکفته‌بلورهای آلبیتی، لبه فشارشی شامل کلریت و مسکوویت وجود دارد (شکل ۳ ب). آمفیبول‌ها به دو صورت بافتی دیده می‌شوند. گروه نخست به صورت شکفته بلورهای مایل نسبت به شیستوارگی اصلی بوده و این آمفیبول-ها از لبه دارای تتدیل شدگی به کلریت هستند (شکل ۳ ب).

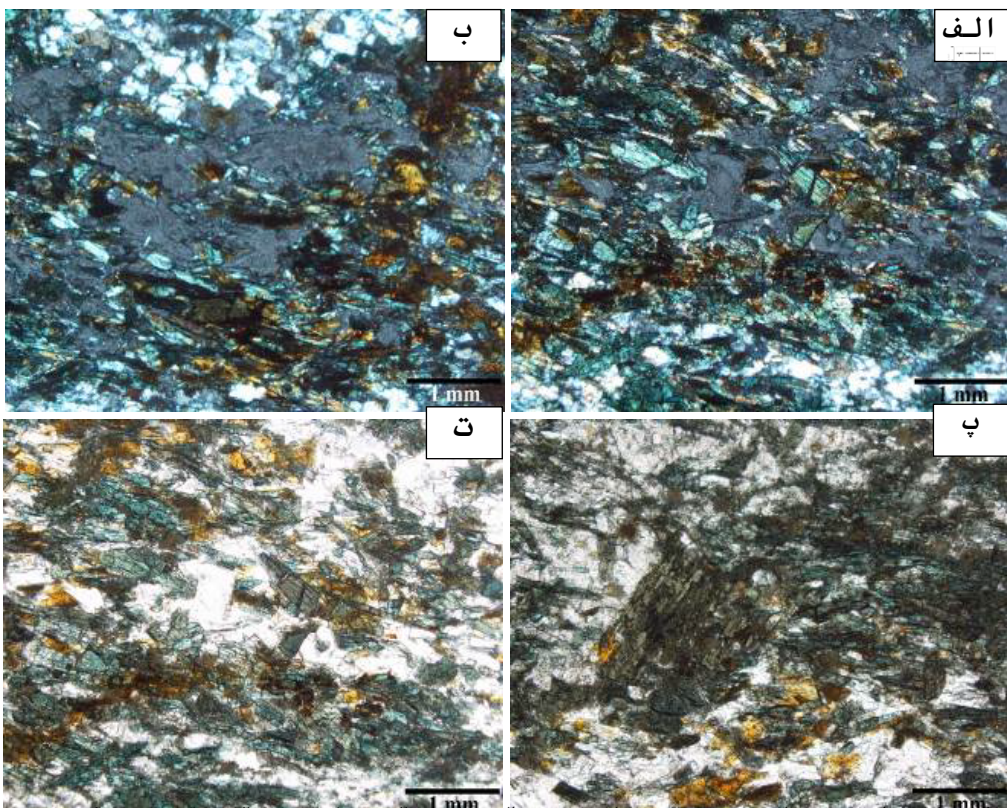
دگرگونی و غیردگرگونی چندان آشکار نیست، ولی در بعضی مکان‌ها، این ارتباط گسلی است. گروه سوم را توده‌های نفوذی منطقه تشکیل می‌دهند که رخمنون آن‌ها در شمال و غرب چهارگوش یاسوکند قابل دیده است. در شمال چهارگوش، توده‌های نفوذی گرانیتی در مجموعه دگرگونی کرتاسه نفوذ کرده‌اند، در حالی که توده‌های نفوذی با ترکیب دیوریتی تا گرانودیوریتی در غرب چهارگوش درون واحدهای رسویی الیگومیوسن نفوذ کرده‌اند. در هر دو مورد دگرگونی مجاورتی قابل دیده است [۱۳] (شکل ۱).

بحث و بررسی
سنگنگاری

بر اساس بررسی‌های سنگنگاری، شیسته‌های بازی منطقه شاهنشین به چهار گروه اکتینولیت شیست، اکتینولیت



شکل ۲ نقشه زمین‌شناسی ساده شده ۱:۱۰۰۰۰۰ یاسوکند (قجور) جایگاه منطقه مورد بررسی بر آن، برگرفته از مرجع [۱۳].



شکل ۳ تصاویر میکروسکوپی از شیسته‌های مورد بررسی نشان دهنده: (الف) بافت غالب پورفیری عربالی ورقه‌تح مکفتی و مجموعه کانیایی آمفیبول، آلبیت، موسکوویت و کلریت در نور دو بار قطبیده؛ (ب) پورفیری غربالی‌های آلبیتی با میانبارهایی از آمفیبول و دارای لبه فشارشی از کلریت و موسکوویت در نور دوبار قطبیده؛ (پ) شکفته بلورهای آمفیبول مایل نسبت به شیستوارگی اصلی و تبدیل شدگی به کلریت از لبه در نور یک بار قطبیده؛ (ت) آمفیبول‌های موجود در راستای شیستوارگی اصلی با ساختار منطقه‌بندی در نور یک بار قطبیده. نامهای اختصاری کانی‌ها Chl: کلریت، Ab: آلبیت، Amp: آمفیبول و Ms: موسکوویت برگرفته از مرجع [۱۵] است.

اینهای بر هر یک از این آنها عمود است [۱۶]. در بلورهای تک میل یکی از راستاهای اصلی ضریب شکست ($n\beta$) بر محور b میل از راستاهای منطبق است در حالی که دو راستای دیگر ($n\beta$ و $n\alpha$) بر روی صفحه ac بلور قرار دارند. این امر باعث می‌شود که صفحه‌های موازی سطح (۰۱۰) خاموشی مایل داشته باشند و اغلب از این سطح برای تشخیص ترکیب شیمیایی آمفیبول‌ها استفاده می‌شود. آمفیبول‌ها در برش عرضی موازی سطح (۰۰۱) دارای خاموشی متقارن و در برش طولی موازی سطح (۱۰۰) دارای خاموشی مستقیم هستند [۴].

بر اساس بررسی‌های کانی‌شناسی نوری بر نمونه اکتینولیت شیست، آمفیبول‌ها در دو برش هندسی دیده می‌شوند که شامل برش طولی موازی محور c و عمود بر محور b بلوشناسی a و برش عرضی عمود بر محور c و موازی محور c و بلوشناسی هستند. برش‌های هندسی طولی موازی محور c و عمود بر محور b بلوشناسی ساختار منطقه‌بندی نوری را نشان

نوع دوم از آمفیبول‌ها در راستای شیستوارگی اصلی قرار داشته و اغلب از نظر نوری ساختار منطقه‌بندی دارند. این آمفیبول‌ها در مرکز دارای رنگ غیرتداخلی سبز مایل به آبی و در لبه سبز کمرنگ هستند (شکل ۳ ث). موسکوویت، کلریت و آمفیبول تشکیل دهنده شیستوارگی اصلی سنگ هستند. موسکوویت و کلریت در لبه فشارشی شکفته بلورهای آلبیت و آمفیبول نیز دیده می‌شوند (شکل‌های ۳ الف و ب).

ویژگی‌های نوری

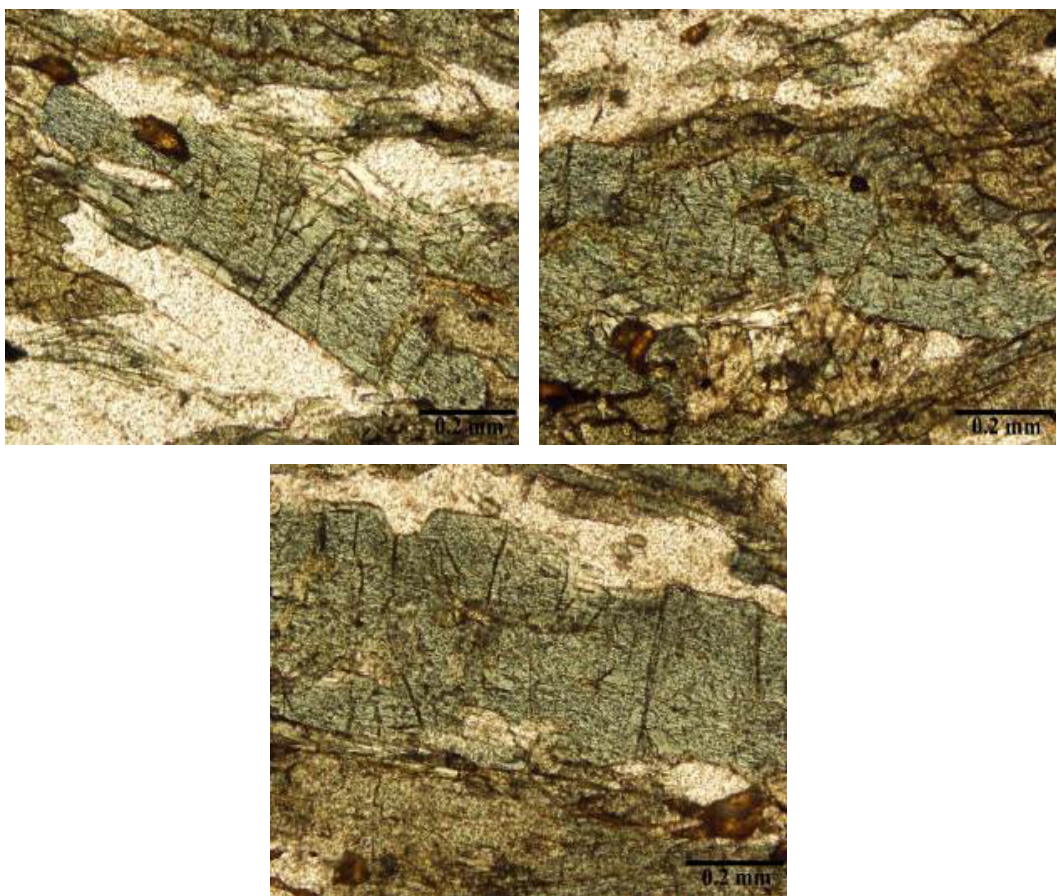
آمفیبول‌ها در دو سیستم بلوری منو تک میل و راستگوشی متبلور می‌شوند. آمفیبول‌های تک میل در رده منشوری متبلور می‌شوند که در آن یک محور چرخش درجه ۲ به عنوان محور b متبلور می‌شوند و محورهای a و c در صفحه آینه‌ای عمود بر b قرار دارند. این در حالی است که آمفیبول‌های راستگوشی در رده دومنشوری متبلور می‌شوند و در آن سه محور چرخش درجه ۲ بر سه محور بلوشناسی منطبق بوده و یک صفحه

کاهش یافته، زاویه خاموشی از ۱۷ به ۱۰ درجه کاهش یافته و رنگ غیرتداخلی در راستای $n\gamma$ در مرکز بلور سبز مایل به آبی و در لبه سبز مایل به زرد است. این در حالی است که رنگ غیرتداخلی در راستای $n\alpha$ در مرکز بلور سبز مایل به زرد و در لبه آن، زرد مایل به سبز است (شکل ۴ ب و جدول ۱).

در آمفیبول شماره ۴ از مرکز به سمت لبه کانی، رنگ تداخلی از نارنجی مایل به قرمز سری اول به خاکستری سری اول تغییر کرده، مقدار شکست مضاعف از ۰,۰۱۸ به ۰,۰۱۱ کاهش یافته، زاویه خاموشی از ۱۵ به ۱۰ درجه کاهش یافته و رنگ غیرتداخلی در راستای $n\gamma$ برای مرکز بلور سبز مایل به آبی و برای لبه آن سبز کم رنگ بوده، در حالی که رنگ غیرتداخلی در راستای $n\alpha$ برای مرکز بلور سبز مایل به زرد و برای لبه آن، زرد مایل به سبز است (شکل ۴ پ و جدول ۱).

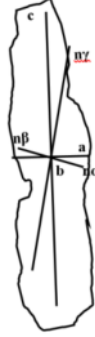
می‌دهند. ویژگی‌های نوری شامل زاویه خاموشی ($n\gamma \approx 5$ و $n\alpha$ برای $n\gamma$ و $n\beta$ برای $n\alpha$) شکست مضاعف و رنگ غیرتداخلی در راستاهای $n\alpha$ و $n\beta$ برای $n\gamma$ سه بلور آمفیبول اندازه‌گیری شدند که نتایج در شکل ۴ و جدول ۱ آورده شده‌اند. در بلور آمفیبول ۱۲، از مرکز به سمت لبه کانی، رنگ تداخلی از قرمز نارنجی سری اول به خاکستری سری اول تغییر یافته، مقدار شکست مضاعف از ۰,۰۱۸ به ۰,۰۱۶ کاهش یافته، زاویه خاموشی از ۲۱ به ۱۶ درجه کاهش یافته و رنگ تداخلی در راستای $n\gamma$ در مرکز بلور سبز آبی و در لبه آن، سبز کمرنگ است، در حالی که رنگ غیرتداخلی در راستای $n\alpha$ در مرکز بلور سبز مایل به زرد و در لبه آن، زرد مایل به زرد است (شکل ۴ الف و جدول ۱).

در بلور آمفیبول شماره ۲ از مرکز به سمت لبه کانی، رنگ تداخلی از زرد مایل به نارنجی سری اول به خاکستری سری اول تغییر کرده، مقدار شکست مضاعف از ۰,۰۱۳ به ۰,۰۱۴ است.



شکل ۴ تصویر میکروسکوپی از چگونگی راستاگیری ضرایب شکست نسبت به راستای {۰۰۱} آمفیبول‌های دارای منطقه بندی (الف) آمفیبول ۱۲، (ب) آمفیبول ۲، (پ) آمفیبول ۴. a، b و c نشانگر محورهای بلورشناسی و $n\alpha$ ، $n\beta$ و $n\gamma$ نشانگر ضرایب شکست نوری هستند. تصاویر در نور یک بار قطبیده ثبت شده‌اند.

جدول ۱ ویژگی‌های نوری مرکز و لبه آمفیبول‌های شماره ۱۲، ۲ و ۴.

شماره آمفیبول	۱۲	۲	۴
ویژگی‌های نوری			
انطباق محور بلورشناسی با راستاهای نوری بلور			
نوع برش	برش طولی موازی با محور [۰۰۱c]	برش طولی موازی با محور [۰۰۱c]	برش طولی موازی با محور [۰۰۱c]
چند رنگی	٪: سبز آبی (مرکز) ٪: سبز کمرنگ (لبه) ٪: سبز زرد (مرکز) ٪: سبز مایل به زرد کم - رنگ (لبه)	٪: سبز آبی (مرکز) ٪: سبز کمرنگ (لبه) ٪: سبز زرد (مرکز) ٪: سبز مایل به زرد کم - رنگ (لبه)	٪: سبز آبی (مرکز) ٪: سبز کمرنگ (لبه) ٪: سبز زرد (مرکز) ٪: سبز مایل به زرد کم - رنگ (لبه)
راستایابی	b = β	b = β	b = β
زاویه خاموشی	مرکز: ۲۱° لبه: ۱۶°	مرکز: ۱۷° لبه: ۱۰°	مرکز: ۱۵° لبه: ۱۰°
شکست مضاعف	مرکز: ۰/۰ ۱۸ لبه: ۰/۰ ۱۰	مرکز: ۰/۰ ۱۴ لبه: ۰/۰ ۱۳	مرکز: ۰/۰ ۱۸ لبه: ۰/۰ ۱۱
رنگ تداخلی	مرکز: قرمز نارنجی سری اول لبه: خاکستری سری اول	مرکز: زرد مایل به - نارنجی سری اول لبه: خاکستری سری اول	مرکز: نارنجی مایل به - قرمز سری اول لبه: خاکستری سری اول

با $(\text{Mg}, \text{Fe}, \text{Mn}, \text{Li})_{\text{M}4} \geq 1.00$ گروه کلسیمی، $\text{Na}_{\text{M}4} < 0.50$ و $\text{Ca}_{\text{M}4} \geq 1.50$ ، $(\text{Ca} + \text{Na})_{\text{M}4} \geq 1.00$ سدیمی - کلسیمی با $(\text{Ca} + \text{Na})_{\text{M}4} \geq 1.00$ و گروه سدیمی با $\text{Na} \geq 1.50$ هستند. برپایه این روش، آمفیبول‌های مورد بررسی در دو با ترکیب اکتینولیت وابسته به گروه آمفیبول‌های کلسیمی و ترکیبات ریشتريت و وینچیت وابسته به گروه آمفیبول‌های سدیمی - کلسیمی رده طبقه‌بندی می‌شوند. مرکز آمفیبول‌های مورد بررسی نقاط (C₁, C₂, C₃, C₄, C₂₅, C₂₆, C₃₈, C₄₁) دارای ترکیب وینچیت و ریشتريت است، در حالیکه لبه آنها (نقاط R₅, R₆, R₇, R₈, R₂₉, R₃₀, R₄₂, R₄₃) بیشتر ترکیب اکتینولیتی دارند (جدول‌های ۳ تا ۴ و شکل ۵).

ترکیب شیمیایی
آمفیبول‌های شماره ۲، ۴ و ۱۲ که ویژگی‌های نوری آن‌ها بررسی شد، تجزیه نقطه‌ای نیز شدند که نتایج آن‌ها در جدول‌های ۲ تا ۴ ارائه شده‌اند. در این پژوهش برای نامگذاری آمفیبول‌ها از روش لیک و همکاران [۱۷] استفاده شد. در این روش، بر اساس ترکیب شیمیایی اعضاي گروه آمفیبول از فرمول عمومی $\text{A}_{0.1}\text{B}_2\text{C}_5\text{T}_8\text{O}_{22}(\text{OH})_2$ استفاده می‌شود که در آن A، B، C، T و OH جایگاه‌های کاتیونی هستند. A نشانگر کاتیون‌های بزرگ و B نشان دهنده کاتیون‌های در دو جایگاه M4 است. C یک جایگاه پنجتایی مرکب از دو جایگاه M1، دو جایگاه M2 و یک جایگاه M3 بوده و جایگاه T نیز هشت جایگاه به ازای هر واحد فرمولی است. در این روش، آمفیبول‌ها بر اساس جایگاه B یا M4 به ۴ گروه تقسیم می‌شوند که شامل آمفیبول‌های گروه $\text{Ca} + \text{Na} < 1.00$ با Mg-Fe-Mn-Li و

جدول ۲ نتایج تجزیه نقطه‌ای برای آمفیبیول شماره ۱۲. (قطع Y-15) فرمول ساختاری و محاسبه مقدار Fe^{3+} با استفاده از نرم‌افزار AX [۱۲] انجام شده است.

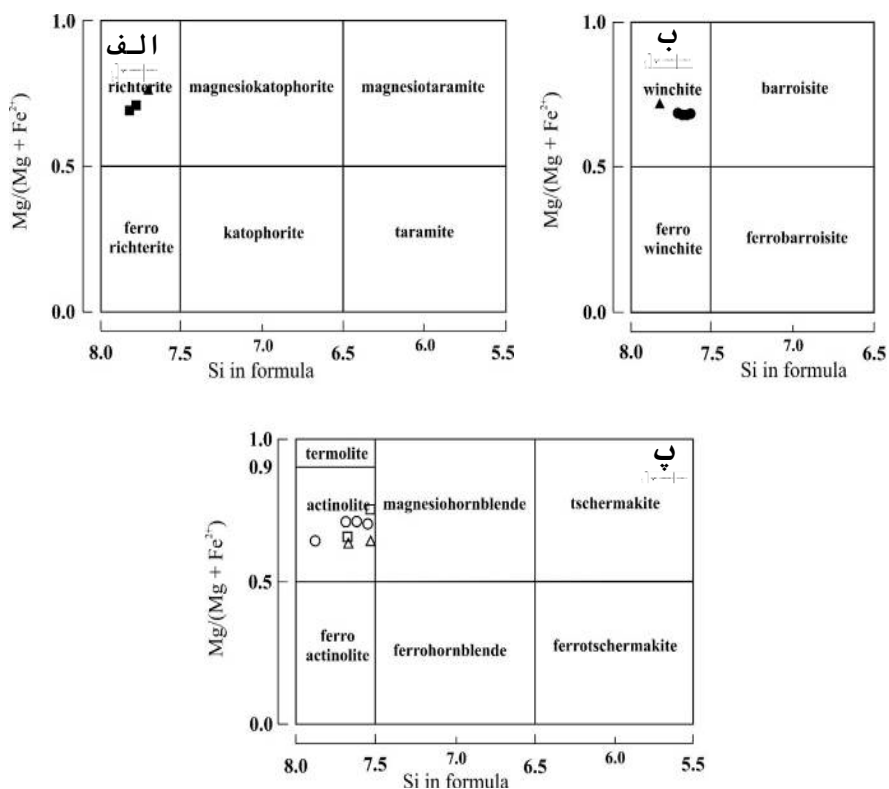
شماره نقطه	C1	C2	C3	C4	R5	R6	R7	R8
SiO_2	۵۳.۶۹	۵۴.۰۴	۵۳.۷۳	۵۴.۱۳	۵۴.۲۱	۵۳.۰۱	۵۳.۸۶	۵۴.۱۱
TiO_2	.۱۲	.۰۲	.۰۹	.۰۸	.۰۲	.۰۱	.۱۵	.۱۷
Al_2O_3	۷.۷۱	۷.۹۸	۸.۳۱	۸.۰۲	۳.۱۲	۲.۸۶	۳.۰۱	۲.۵۷
Fe_2O_3	.۰۰	.۰۰	.۰۰	.۰۲۱	۲.۳۶	۱.۹۷	۱.۷۹	.۰۰
FeO	۱۰.۳۶	۱۱.۲۳	۱۰.۹۷	۱۱.۴۲	۱۰.۸۶	۱۱.۲۴	۱۱.۰۴	۱۳.۱۱
MnO	.۵	.۶۱	.۱۵	.۱۴	.۰۰۸	.۰۱۰	.۰۲	.۰۱۲
MgO	۱۲	۱۱.۸۳	۱۱.۵۶	۱۲.۲۵	۱۵.۶۱	۱۶.۰۱	۱۵.۸۷	۱۴.۲۲
CaO	۶.۶۶	۷.۱۲	۸.۰۱	۶.۶۸	۱۰.۳۰	۱۱.۲۳	۱۱	۱۲.۰۴
Na_2O	۵.۱۲	۳.۸۳	۴.۲۷	۴.۳۸	۲.۰۱	۲	۱.۸۶	۱.۶۷
K_2O	.۱	.۰۲۱	.۰۱۲	.۰۱۳	.۰۰۱	.۰۰۰	.۰۰۳	.۰۰۴
مجموع	۹۶.۵۳	۹۷.۰۵	۹۷.۲۱	۹۷.۴۴	۹۸.۵۸	۹۸.۴۳	۹۸.۸۱	۹۸.۰۶
No.Ox	$O = ۲۲$							
$\text{Si}^{(T)}$	۷.۷۱۵	۷.۶۹۶	۷.۶۴۶	۷.۶۷۵	۷.۶۹۵	۷.۵۹۰	۷.۶۴۹	۷.۷۸۶
$\text{Ti}^{(\text{Oct})}$.۰۰۳	.۰۲۱	.۰۰۰	.۰۰۹	.۰۰۲	.۰۰۱	.۰۱۶	.۰۱۸
$\text{Al}^{(T)}$.۰۲۸۵	.۰۳۰۴	.۰۲۵۴	.۰۲۲۵	.۰۳۰۵	.۰۴۱	.۰۳۵۱	.۰۲۱۴
$\text{Al}^{(\text{Oct})}$	۱.۰۱۵	۱.۰۳۶	۱.۰۴	۱.۰۱۶	.۰۱۷	.۰۷۳	.۰۱۵۳	.۰۱۲۲
$\text{Fe}^{3+(\text{Oct})}$.۰۰۰	.۰۰۰	.۰۰۰	.۰۰۲۲	.۰۲۵۲	.۰۲۱۲	.۰۱۹۱	.۰۰۰
$\text{Fe}^{2+(\text{Oct})}$	۱.۲۳۹	۱.۳۳۷	۱.۳۰۶	۱.۳۵۵	۱.۲۸۹	۱.۳۴۶	۱.۳۱۱	۱.۵۷۸
$\text{Mn}^{(\text{Oct})}$.۰۰۶۱	.۰۰۷۴	.۰۰۱۸	.۰۰۱۷	.۰۰۱	.۰۰۱۲	.۰۰۲۴	.۰۰۱۵
$\text{Mg}^{(\text{Oct})}$	۲.۵۵۷	۲.۵۱۱	۲.۴۵۲	۲.۵۰۹	۲.۳۲	۲.۴۱۶	۲.۳۵۹	۳.۰۵۲
$\text{Ca}^{(\text{M4})}$	۱.۰۲۰	۱.۰۸۶	۱.۲۲۱	۱.۰۱۵	۱.۰۶۷	۱.۱۲۳	۱.۶۷۴	۱.۸۵۶
$\text{Na}^{(\text{M4})}$.۹۸	.۹۱۴	.۷۷۹	.۹۸۵	.۷۳۳	.۷۷۷	.۲۲۶	.۱۴۴
$\text{Na}^{(\text{A})}$.۰۴۳۹	.۰۱۴۴	.۰۳۹۹	.۰۲۱۹	.۰۱۲	.۰۲۷۸	.۰۱۸۶	.۰۳۲۲
$\text{K}^{(\text{A})}$.۰۰۱۸	.۰۰۳۸	.۰۰۲۲	.۰۰۲۴	.۰۰۰۲	.۰۰۰	.۰۰۰۵	.۰۰۰۷
مجموع	۱۵.۳۴۱	۱۵.۱۶۱	۱۵.۲۴۷	۱۵.۲۴۹	۱۵.۱۹۴	۱۵.۲۳۹	۱۵.۲۴۶	۱۵.۲۱۴

جدول ۳ نتایج تجزیه نقطه‌ای آمفیبیول شماره ۲ (قطع Y-15). فرمول ساختاری و محاسبه مقدار Fe^{3+} با استفاده از نرم‌افزار AX [۱۲] انجام شده است.

نام کانی	Amphibole 2			
شماره قطع	Y-15			
مرکز لبه	هسته	هسته	لبه	لبه
شماره نقطه	C25	C26	R29	R30
SiO_2	۵۵.۸۶	۵۶.۳۱	۵۴.۱۲	۵۳.۸۶
TiO_2	.۳۲	.۲	.۳۱	.۲۱
Al_2O_3	۸.۶۵	۹.۰۱	۵.۰۱	۵.۶۱
Fe_2O_3	.۰۰	.۰۰	.۰۱۸	۲.۲۳
FeO	۸.۴۵	۸.۶۱	۱۲.۱۴	۹
MnO	.۰۲	.۰۲	.۰۰۴	.۰۰۶
MgO	۱۱.۶۴	۱۲.۰۱	۱۴.۱۲	۱۵.۶۱
CaO	۶.۰۱	۵.۶۳	۹.۵۵	۹.۸۶
Na_2O	۶.۴۱	۶.۴۱	۲.۸۵	۲.۱۲
K_2O	.۰۰۲	.۰۰۰	.۰۰۷	.۰۰۴
مجموع	۹۷.۳۸	۹۸.۳۸	۹۸.۴	۹۸.۶۰
No.Ox	$O = ۲۲$			
$\text{Si}^{(T)}$	۷.۸۰۶	۷.۷۸۵	۷.۸۱	۷.۵۵۵
$\text{Ti}^{(\text{Oct})}$.۰۰۳۴	.۰۰۲۱	.۰۰۳۳	.۰۰۲۲
$\text{Al}^{(T)}$.۱۹۴	.۰۲۱۵	.۰۳۱۹	.۰۴۴۵
$\text{Al}^{(\text{Oct})}$	۱.۲۲۱	۱.۲۵۳	.۰۵۱۹	.۰۴۸۳
$\text{Fe}^{3+(\text{Oct})}$.۰۰۰	.۰۰۰	.۰۰۲	.۰۲۲۵
$\text{Fe}^{2+(\text{Oct})}$.۰۰۸۸	.۰۰۹۵	۱.۴۴۱	۱.۰۵۶
$\text{Mn}^{(\text{Oct})}$.۰۰۰۲	.۰۰۲۳	.۰۰۰۵	.۰۰۰۷
$\text{Mg}^{(\text{Oct})}$	۲.۴۲۴	۲.۴۷۴	۲.۹۸۷	۳.۲۶۳
$\text{Ca}^{(\text{M4})}$.۹	.۸۳۴	۱.۵	۱.۵
$\text{Na}^{(\text{M4})}$	۱.۱	۱.۱۶۶	.۵۴۸	.۵۱۸
$\text{Na}^{(\text{A})}$.۰۴۲۷	.۰۵۵۲	.۲۳۶	.۰۰۵۹
$\text{K}^{(\text{A})}$.۰۰۰۴	.۰۰۰	.۰۰۱۳	.۰۰۰۷
مجموع	۱۵.۳۱۸	۱۵.۲۲۱	۱۵.۲۵۵	۱۵.۱۳۳

جدول ۴ نتایج تجزیه نقطه‌ای برای آمفیبول شماره ۴ (قطع ۱۵-Y). فرمول ساختاری و محاسبه مقدار Fe^{3+} با استفاده از نرم‌افزار AX [۱۲] انجام شده است.

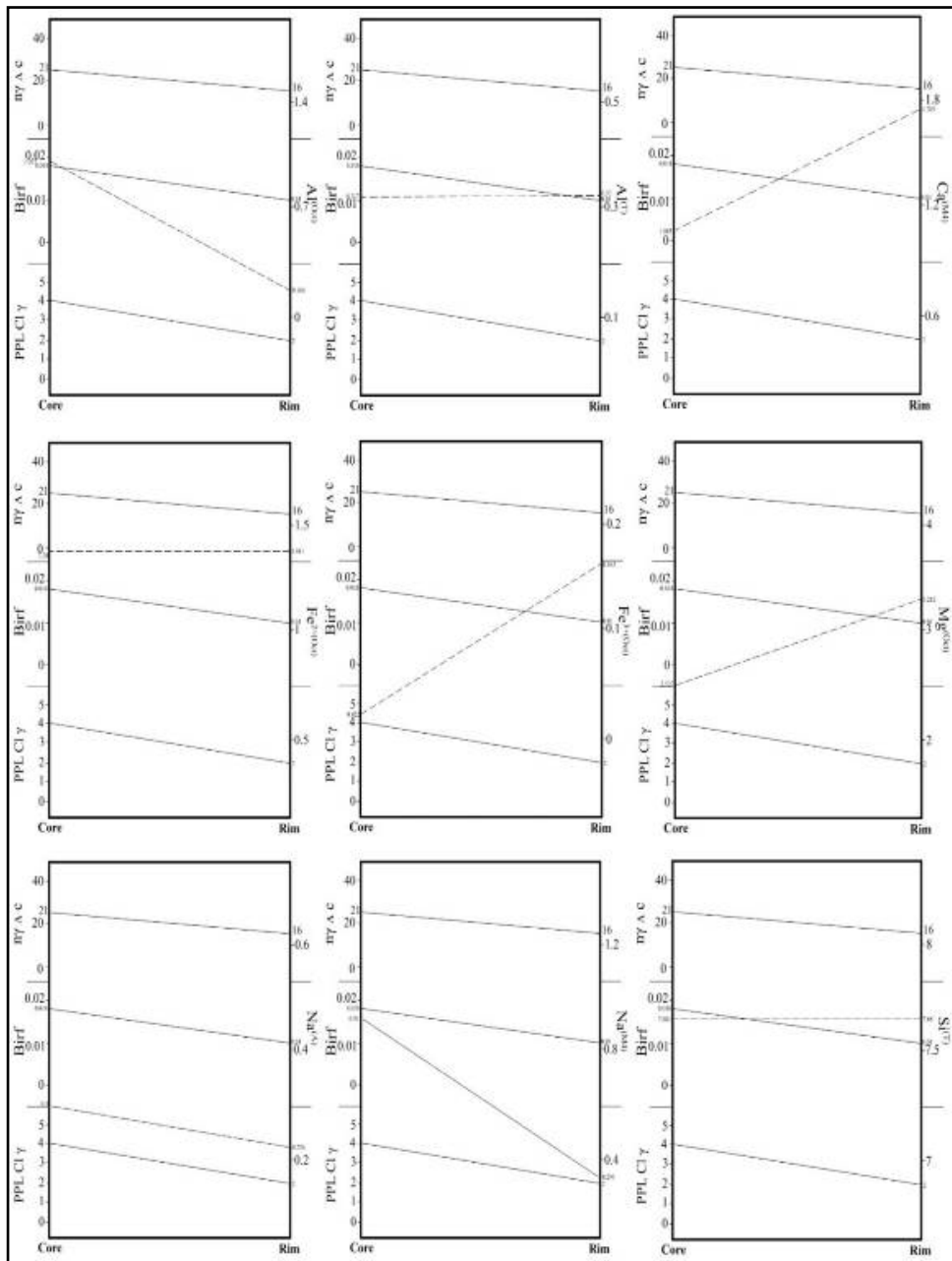
نام کاتی		Amphibole 4			
شماره قطع		Y-15			
مرکز لبه	هسته	هسته	لبه	لبه	
شماره نقطه	C38	C41	R42	R43	
SiO_2	۵۶.۱۴	۵۷.۰۱	۵۲.۴۱	۵۴.۶۵	
TiO_2	۰.۰۴	۰.۱۲	۰.۱۲	۰.۱۳	
Al_2O_3	۱۱.۶۱	۱۱.۴۳	۷.۴۱	۷.۲۳	
Fe_2O_3	۰.۰۰	۰.۰۰	۰.۵۱	۰.۰۰	
FeO	۶.۹۷	۶.۱۲	۹.۶۷	۱۱.۲۱	
MnO	۰.۱	۰.۱۴	۰.۱۱	۰.۲	
MgO	۱۱.۶۱	۱۰.۸۶	۱۴.۶۱	۱۲.۰۱	
CaO	۴.۵۲	۴.۳۵	۱.۰	۹.۸۷	
Na_2O	۷.۱۳	۶.۸۵	۲.۳۱	۲.۰۱	
K_2O	۰.۰۴	۰.۱	۰.۰۱	۰.۰۳	
مجموع	۹۸.۱۷	۹۶.۹۸	۹۸.۱۶	۹۸.۳۴	
No.O_x	$O = ۲۳$				
$\text{Si}^{(\text{T})}$	۷.۸۹۱	۷.۸۴۲	۷.۵۰۹	۷.۸۷۶	
$\text{Ti}^{(\text{Oct})}$	۰.۰۰۴	۰.۰۱۲	۰.۰۱۳	۰.۰۱۴	
$\text{Al}^{(\text{T})}$	۰.۳۰۹	۰.۱۵۸	۰.۴۹۱	۰.۲۲۴	
$\text{Al}^{(\text{Oct})}$	۱.۰۵۶	۱.۶۹۶	۰.۷۳۷	۰.۸۷۳	
$\text{Fe}^{3+}(\text{Oct})$	۰.۰۰	۰.۰۰	۰.۰۵۴	۰.۰۰	
$\text{Fe}^{2+}(\text{Oct})$	۰.۷۹۹	۰.۷۰۴	۱.۱۳۷	۱.۳۱۷	
$\text{Mn}^{(\text{Oct})}$	۰.۰۱۲	۰.۰۱۶	۰.۰۱۳	۰.۰۲۴	
$\text{Mg}^{(\text{Oct})}$	۲.۳۷۱	۲.۲۲۶	۳.۰۶۱	۲.۷۷۲۳	
$\text{Ca}^{(\text{M4})}$	۰.۶۶۵	۰.۶۴۱	۱.۰۰۶	۱.۰	
$\text{Na}^{(\text{M4})}$	۱.۳۳۵	۱.۳۵۹	۰.۴۹۴	۰.۵۱۵	
$\text{Na}^{(\text{A})}$	۰.۵۵۹	۰.۴۶۸	۰.۱۳۶	۰.۱۳۲	
$\text{K}^{(\text{A})}$	۰.۰۰۷	۰.۰۱۸	۰.۰۰۲	۰.۰۰۵	
مجموع	۱۵.۳۱۷	۱۵.۱۴۱	۱۵.۱۰۳	۱۴.۹۸۸	



شکل ۵ نمودار رده‌بندی آمفیبول‌های سدیمی - کلسیمی (الف و ب) و آمفیبول‌های کلسیمی (پ) [۱۷] در اکتینولیت شیسته‌های بازی منطقه شاهنشین. (■ مرکز آمفیبول ۲؛ ▲ مرکز آمفیبول ۴؛ ● مرکز آمفیبول ۱۲؛ □ لبه آمفیبول ۲؛ Δ لبه آمفیبول ۴ و لبه بلور ۱۲).

مقادیر میانگین Al^{Oct} و Na^{A} که در مرکز بلور به ترتیب عبارتند از $1,027, 0,914$ و $3,000$ و در لبه بلور برابر با $0,166$ ، $0,295$ و $0,226$ هستند. مقادیر Si و Al^{T} از مرکز به لبه تغییر نکرده‌اند (جدول ۲ و شکل ۶). با در نظر گرفتن تغییرات کاتیون‌ها از مرکز به سمت لبه، مهمترین جانشینی رخ داده عکس جانشینی گلوکوفانی است.

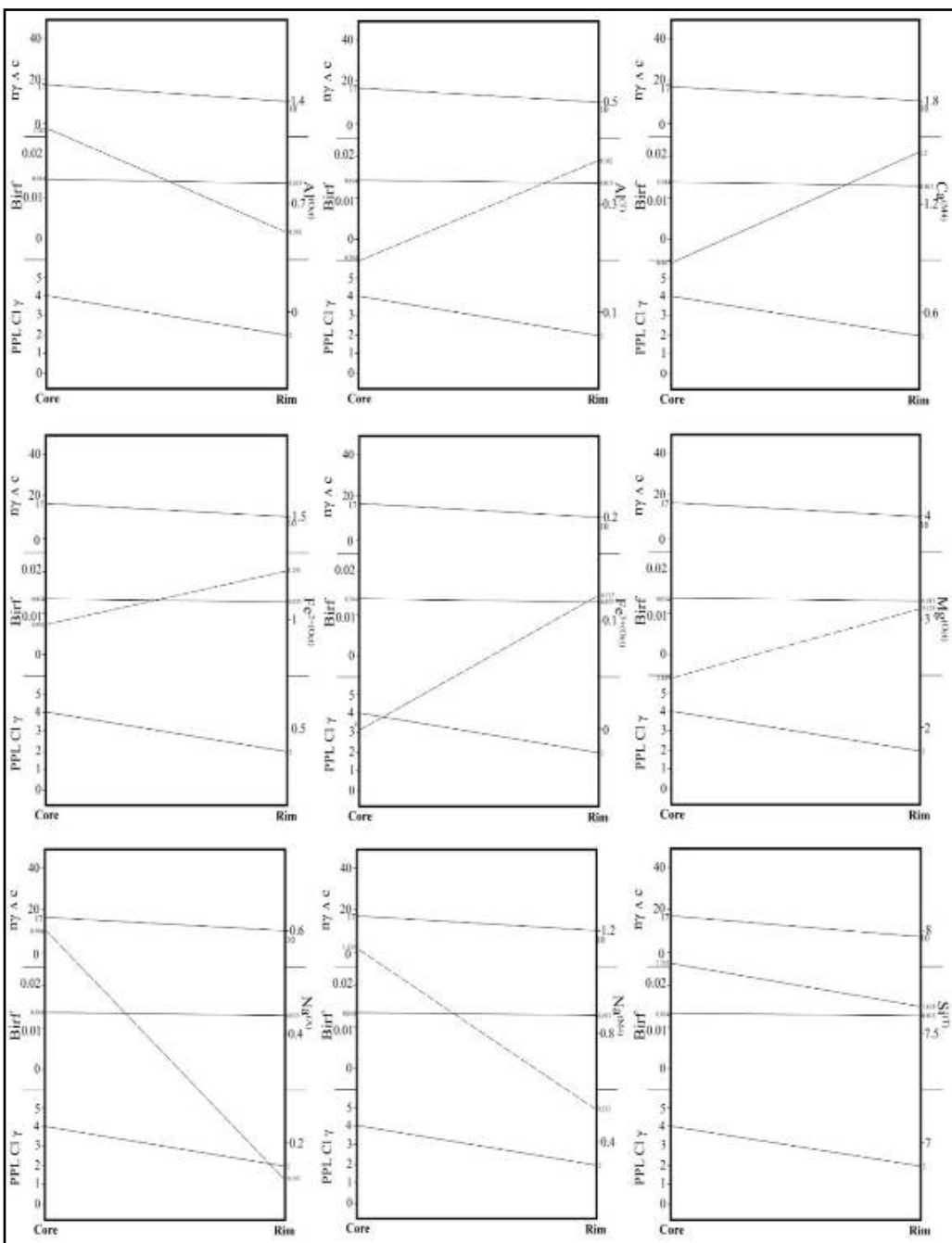
در آمفیبول شماره ۱۲ از مرکز به سمت لبه بلور، مقادیر $\text{Fe}^{3+\text{Oct}}$ و $\text{Fe}^{2+\text{Oct}}$ افزایش یافته، در حالی که مقادیر $\text{Na}_{(\text{A})}$ و $\text{Na}_{(\text{M4})}$ کاهش می‌یابد. مقادیر میانگین Ca^{M4} و Mg^{Oct} در مرکز بلور به ترتیب $\text{Fe}^{3+\text{Oct}}$ و $\text{Fe}^{2+\text{Oct}}$ افزایش می‌یابند. همچنین برابر با $2,527, 1,08$ ، $1,309$ و $0,02$ هستند. همچنین



شکل ۶ نمودار تغییرات کاتیون‌ها نسبت به ویژگی‌های نوری اندازه‌گیری شده از مرکز به سمت لبه در آمفیبول شماره ۱۲ اعداد $1, 2, 3, 4$ و 5 به ترتیب نشانگر رنگ زرد، سبز زرد، سبز کمرنگ، سبز آبی و آبی در نور عادی هستند. خط ممتد نشان دهنده تغییرات زاویه خاموشی، شکست مضاعف و رنگ در نور عادی بوده و خط چین نشانگر تغییرات عنصر در جایگاه‌های مختلف هم‌آرایی هستند. (γ و Birf = زاویه خاموشی و محور Cl بلورشناسی؛ PPL = شکست مضاعف و ppl = رنگ عادی).

در مرکز بلور ۲ به ترتیب عبارتند از $Na^A_{1,246}$, $Fe^{3+Oct}_{0,557}$, $Al^T_{0,537}$, $Ca^{M4}_{0,557}$, $Mg^{Oct}_{0,557}$ و $Fe^{2+Oct}_{1,122}$ و در لبه بلور برابر با $Na^A_{0,52}$, $Fe^{3+Oct}_{0,52}$, $Al^T_{0,52}$, $Ca^{M4}_{0,52}$, $Mg^{Oct}_{0,52}$ هستند (جدول ۳ و شکل ۷). در اینجا نیز مهمترین جانشینی رخ داده عکس جانشینی گلوکوفانی است. البته نسبت به بلور ۱۲، جانشینی پلازیوکلазی $Al^T Na^{M4} Si^{T Ca^{M4}}_1$ نیز موجب تغییر ترکیب شیمیایی از مرکز به لبه بلور شماره ۲ شده است.

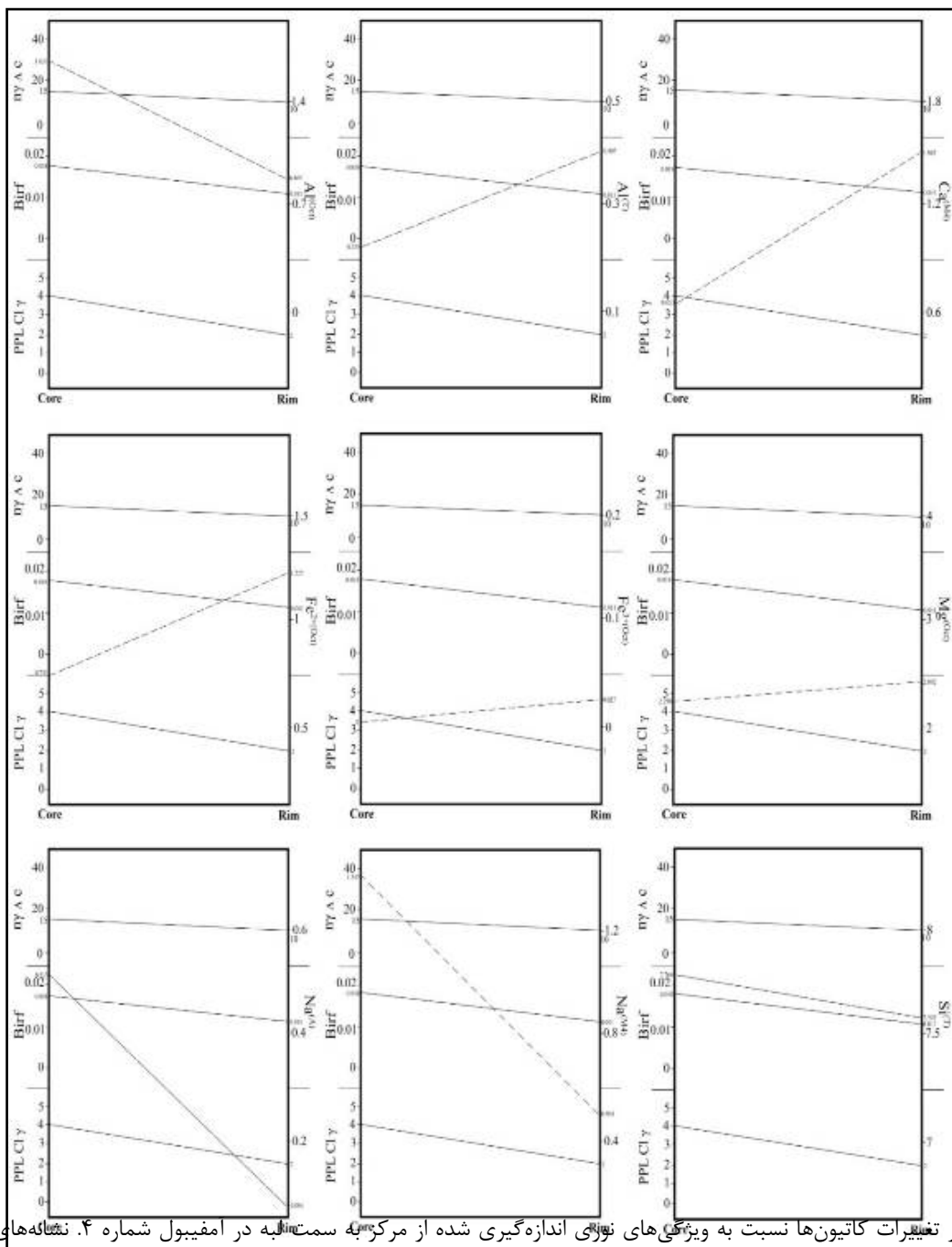
در آمفیبول شماره ۲ از مرکز به سمت لبه بلور، مقادیر Al^T , Fe^{3+Oct} , Fe^{2+Oct} , Ca^{M4} , Mg^{Oct} و Si^T افزایش یافته در حالی که مقادیر Na^A , Al^{Oct} و Ca^{M4} کاهش پیدا کرده‌اند. مقادیر میانگین Al^T , Fe^{3+Oct} , Fe^{2+Oct} , Ca^{M4} , Mg^{Oct} و Si^T در مرکز بلور ۲ به ترتیب عبارتند از $Al^T_{0,000}$, $Fe^{3+Oct}_{1,011}$, $Fe^{2+Oct}_{0,877}$, $Ca^{M4}_{1,048}$, $Mg^{Oct}_{1,048}$ و $Si^T_{0,008}$ و در لبه بلور برابر با $Al^T_{0,152}$, $Fe^{3+Oct}_{1,31}$, $Fe^{2+Oct}_{1,464}$, $Ca^{M4}_{3,048}$ و $Mg^{Oct}_{3,048}$ هستند. همچنین، مقادیر میانگین Na^A و



شکل ۷ نمودار تغییرات کاتیون‌ها نسبت به ویژگی‌های نوری اندازه‌گیری شده از مرکز به سمت لبه در آمفیبول شماره ۲. نشانه‌های به کار رفته مانند شکل ۶ هستند

در آمفیبول شماره ۴ از مرکز به سمت لبه بلور، مقادیر Na^{A} و Na^{M4} و Al^{Oct} ، Si^{T} و Al^{Oct} به ترتیب عبارتند از ۰.۰۴۸، ۱.۲۲۴، ۱.۳۴۷، ۰.۵۱ و ۰.۵۸، ۰.۶ و ۰.۵۸ هستند. مقادیر در لبه بلور برابر با ۰.۷۶۶، ۰.۸۲۲، ۰.۷۶۴۲ و ۰.۷۵۱ هستند. در بلور شماره ۴ نیز تغییرات کاتیونی از مرکز به سمت لبه با عکس جانشینی گلوكوفانی و به مقدار کمتر پلاژیوکلازی رخداده است (جدول ۴ و شکل ۸).

در آمفیبول شماره ۴ از مرکز به سمت لبه بلور، مقادیر $\text{Fe}^{3+\text{Oct}}$ ، $\text{Fe}^{2+\text{Oct}}$ ، Ca^{M4} ، Mg^{Oct} و Al^{T} افزایش یافته در حالی که مقادیر Si^{T} ، Na^{A} و Na^{M4} ، Al^{Oct} کاهش پیدا کرده‌اند. مقادیر میانگین Mg^{Oct} ، Ca^{M4} و Al^{T} در مرکز بلور ۴ به ترتیب عبارتند از ۰.۶۵۳، ۰.۷۵۱ و ۰.۷۹۸ و ۰.۲۳۳ و این مقادیر در لبه بلور برابرند با ۰.۸۸۵، ۰.۷۵۱ و ۰.۴۳۲.



شکل ۸ نمودار تغییرات کاتیون‌ها نسبت به ویژگی‌های نرمی اندازه‌گیری شده از مرکز به سمت لبه در آمفیبول شماره ۴. نشانه‌های به کار رفته مانند شکل ۶ هستند
برداشت

[3] Gilbert M. C., Helz R. T., Popp R. K., Spear F. S., Veblen D. R., Ribbe, P. H., “*Amphiboles: petrology and experimental phase relations*”, MSA Reviews in Mineralogy 9 (1982) 231-267.

[4] Deer W.A., Howher. a., Zussman. J., “*An introduction to the rock forming minerals*”, Longman Scientific and Technical, England (1992) 581p.

[5] Spear F.S., “*Metamorphic phase equilibria and pressure- temperature- time path*”, Mineralogical Society of America, Washington (1995) 799p.

[6] Izadyar J., “*Optical characters, chemical composition and formation mechanism of colorless sodic and sodic-calcic amphiboles in piemontite-quartz schists from high P-low T Sanbagawa metamorphic belt in central Shikoku, Japan*”, Iranian Journal of Crystallography and Mineralogy 13(1) (2005) 135-154 (in Persian).

[7] Nasrabadi M., Roseti F., Moein vVaziri H., Razavi M. H., Mojatal M., “*Mineralogy and thermobarometry of blueschists from Soltan Abad metamorphic complex (NE Sabzevar)*”, Iranian Journal of Crystallography and Mineralogy 20(1) (2013) 123-140 (in Persian).

[8] Nasrabadi M., Gholizadeh K., “*Thermobarometry and tectonic setting of metamorphic rocks from the ophiolitic complex of north Torbat-E-Heidarieh*”, Iranian Journal of Crystallography and Mineralogy 24(2) (2016) 355-370 (in Persian).

[9] Hajalioghi R., “*Mineral chemistry, P-T and tectonometamorphic evolutions of garnet amphibolites from the Takht-e-Soleyman*”, Iranian Journal of Crystallography and Mineralogy 25(4) (2018) 749-760 (in Persian).

[10] Hosseini B., Ahmadi A. R., “*Structural and thermobarometric investigations of metamorphic rocks in the north of Asadabad (Sanandaj-Sirjan zone)*”, Iranian Journal of Crystallography and Mineralogy 27(1) (2019) 151-166 (in Persian).

[11] Borg I. Y., “*Optical properties and cell parameters in the glaucophane-riebeckite series*”, Contributions to Mineralogy and Petrology 15(1) (1967) 67-92.

[12] Holland T. J. B., and Powell R., “*An internally consistent thermodynamic data set with uncertainties and correlations: The system Na₂O-K₂O-CaO-MgO-MnO-FeO-Fe₂O₃-Al₂O₃-SiO₂*”

با همخوانی نتایج به دست آمده از شیمی کانی آمفیبول و ویژگی‌های نوری، می‌توان گفت که ارتباط روشی میان تغییر ترکیب شیمیایی و تغییر ویژگی‌های نوری از مرکز به سمت لبه بلور وجود دارد.

در آمفیبول شماره ۱۲، افزایش کاتیون‌های $\text{Ca}^{\text{M}4}$, Mg^{Oct} , Na^{A} , $\text{Na}^{\text{M}4}$, $\text{Fe}^{3+\text{Oct}}$, $\text{Fe}^{2+\text{Oct}}$, Al^{Oct} و کاهش کاتیون‌های $\text{Al}^{\text{Oct}}\text{Ca}^{\text{M}4}$, Mg^{Oct} , $\text{Na}_{-1}^{\text{M}4}$ از مرکز به سمت لبه بلور نشانگر عکس جانشینی گلوكوفانی است (شکل ۶). در آمفیبول‌های شماره ۲ و ۴، افزایش کاتیون-های Al^{T} , $\text{Fe}^{3+\text{Oct}}$, $\text{Fe}^{2+\text{Oct}}$, $\text{Ca}^{\text{M}4}$, Mg^{Oct} , Na^{A} و $\text{Na}^{\text{M}4}$ و کاهش کاتیون-های $\text{Al}^{\text{Oct}}\text{Ca}^{\text{M}4}$, Mg^{Oct} , $\text{Na}_{-1}^{\text{M}4}$ گلوكوفانی (شکل‌های ۷ و ۸) است. پلازیوکلازی (PL₁) عکس جانشینی گلوكوفانی به علت کاهش فشار و جانشینی پلازیوکلازی به علت افزایش دما طی دگرگونی رخ می‌دهد [۵]. از سوی دیگر، برآورد فشار - دمای تشکیل آمفیبول‌ها با توجه به ترکیب شیمیایی مرکز و لبه آمفیبول‌ها [۱۸، ۱۹] نشان می‌دهد که مرکز آن‌ها در شرایط فشار و دمای بالاتری نسبت به لبه آن‌ها ایجاد شده‌اند. از این رو، ساختار منطقه‌بندی نوری و شیمیایی دیده شده در آمفیبول‌های شیسته‌های بازی منطقه شاهنشین به دلیل تغییر شرایط فشار و دمای دگرگونی تشکیل شده است.

قدرتانی

نویسنده‌گان مقاله از مسؤولین محترم دانشگاه زنجان برای حمایت‌های مالی در انجام این پژوهش قدردانی می‌نمایند.

مراجع

- [1] Hawthorne, F.C. and Veblen, D.R., “*Amphiboles and other hydrous pyriboles-mineralogy*”, Reviews in Mineralogy (1981) 1-102.
- [2] Veblen D. R., & Ribbe P. H. “*Amphiboles: Petrology and experimental phase relation*”, Reviews in Mineralogy (1982) 390p.

- [16] Klein C. and Hurlbut Jr C. S., “*Manual of Mineralogy. John Wiley & Sons. Inc*”, New York (1999) 681p.
- [17] Leak B.E., The IMA Commission, “*Nomenclature of amphiboles. Report of the sub-committee on Amphiboles of the international mineralogical Association on New–Minerals and mineral names*”, Eur J Mineral 9 (1997) 623 -651.
- [18] Spear F. S., & Selverstone J., “*Quantitative PT paths from zoned minerals: theory and tectonic applications*”, Contributions to Mineralogy and Petrology 83(3-4) (1983) 348-357.
- [19] Holland T. J., & Richardson S. W., “*Amphibole zonation in metabasites as a guide to the evolution of metamorphic conditions*”, Contributions to Mineralogy and Petrology 70(2) (1979) 143-148.
- [20] Dravite in $TiO_2-C-H_2-O_2$ ”, Journal of Metamorphic Geology 8 (1990) 89-124.
- [13] Fonoudi, M and Sayareh, A.R., “*Geology map of Yassoukand (Ghojor) 1:100000*” Geological Survey and Mineral Exploration of Iran (2000) (in Persian).
- [14] Pouromidi A., “*Petrography and thermodynamic studying of basic schists from Shahneshin metamorphic complex in north of Yasoukand, southwest of Zanjan*”, M.Sc. thesis in petrology, University of Zanjan (2016) (in Persian).
- [15] Whitney D. L., Evans B. W., “*Abbreviations for names of rock-forming minerals*”, American Mineralogist 95 (2010) 185-187.